

# Capítulo 4

## Validación numérica e implementación

*Algunos aspectos sobre la implementación de la función de Green y su derivada junto con simplificaciones al caso transversalmente isótropo son estudiados. Las expresiones encontradas en los Capítulos 2 y 3 son validadas numéricamente con datos disponibles en la literatura.*

### Sólidos transversalmente isótropos

Considérese un cuerpo sólido con simetría transversalmente isótropa donde cualquier plano que contiene al eje  $x_3$  es un plano de simetría. Sin pérdida de generalidad, se escoge un punto sobre el plano de simetría  $x_2 = 0$  siendo  $\hat{\mathbf{e}} = \{\hat{e}_{12}, 0, \hat{e}_3\}$  y  $\hat{e}_{12} = \sqrt{\hat{e}_1^2 + \hat{e}_2^2}$ . Los dos vectores unitarios mutuamente ortogonales  $\mathbf{m}$  y  $\mathbf{n}$  sobre el plano oblicuo al vector  $\hat{\mathbf{e}}$  pueden ser elegidos arbitrariamente tal que  $\mathbf{n} \times \mathbf{m} = \hat{\mathbf{e}}$ . Sea  $\mathbf{m} = \{0, 1, 0\}$  y  $\mathbf{n} = \{\cos \phi, 0, -\text{sen } \phi\}$  donde  $\phi$  en un sistema coordenado esférico (ver Fig. 4.1) está dado por  $\tan \phi = x_1/x_3$  y  $0 < \phi < \pi$ .

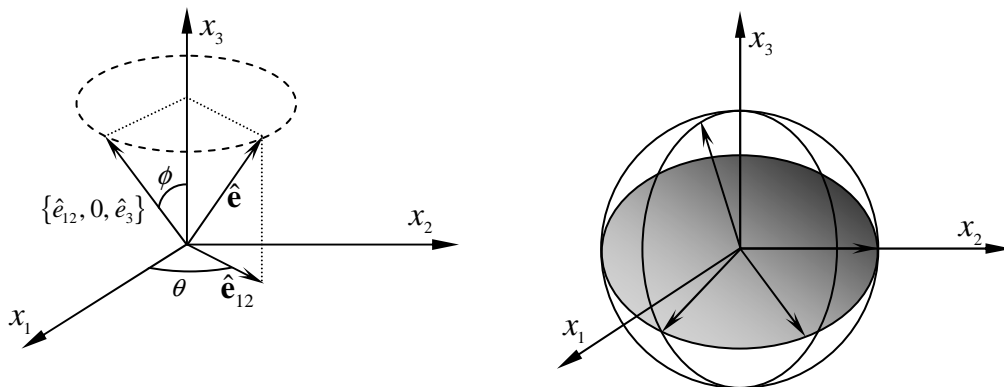


Figura 4.1 – (a) Esquema de los vectores  $\hat{\mathbf{e}}$ ,  $\hat{\mathbf{e}}_{12}$  y  $\hat{\mathbf{e}}$  para puntos sobre el plano  $x_2 = 0$  en coordenadas esféricas. (b) Esquema de los vectores  $\mathbf{m}$ ,  $\mathbf{n}$  y  $\mathbf{n}^*$  cuando  $\hat{\mathbf{e}}$  se encuentra en el plano  $x_2 = 0$ .

La función de Green es expresada en términos de la función de modulación (tensor de Barnett-Lothe extendido) como

$$U_{JK}(\mathbf{x}) = \frac{1}{4\pi r} H_{JK}(\hat{\mathbf{e}}) \quad (4.1)$$

Cuando esta función de modulación es evaluada para cualquier punto perteneciente al plano  $x_2 = 0$  caracterizado por un vector  $\{\hat{\mathbf{e}}_{12}, \mathbf{0}, \hat{\mathbf{e}}_3\}$ , algunas componentes son cero y el tensor de Barnett-Lothe tiene la forma

$$\bar{\mathbf{H}} = \begin{bmatrix} \bar{H}_{11} & 0 & \bar{H}_{13} & \bar{H}_{14} & \bar{H}_{15} \\ 0 & \bar{H}_{22} & 0 & 0 & 0 \\ \bar{H}_{13} & 0 & \bar{H}_{33} & \bar{H}_{34} & \bar{H}_{35} \\ \bar{H}_{14} & 0 & \bar{H}_{34} & \bar{H}_{44} & \bar{H}_{45} \\ \bar{H}_{15} & 0 & \bar{H}_{35} & \bar{H}_{45} & \bar{H}_{55} \end{bmatrix} \quad (4.2)$$

Teniendo en cuenta la simetría rotacional del material, y por lo tanto de la solución del problema, una expresión general del tensor de Barnett-Lothe extendido para cualquier orientación de  $\hat{\mathbf{e}}$  en  $\mathfrak{R}^3$  puede ser obtenido

$$H_{IK} = \Omega_{IA} \Omega_{KB} \bar{H}_{AB} \quad (4.3)$$

donde  $\Omega$  es la matriz de transformación ortogonal propia en cinco dimensiones determinada por

$$\Omega = \begin{bmatrix} \cos \theta & -\sin \theta & 0 & 0 & 0 \\ \sin \theta & \cos \theta & 0 & 0 & 0 \\ 0 & 0 & 1 & 0 & 0 \\ 0 & 0 & 0 & 1 & 0 \\ 0 & 0 & 0 & 0 & 1 \end{bmatrix} \quad (4.4)$$

con  $0 < \theta < 2\pi$  (ver Fig. 4.1). Teniendo en cuenta los términos distintos de cero en (4.2) y (4.4) las componentes de  $\mathbf{H}$  se pueden escribir en función de las componentes de  $\bar{\mathbf{H}}$  las cuales son más fáciles de evaluar como se muestra más adelante. Así, se tiene en función de las componentes de  $\hat{\mathbf{e}}$  que

$$H_{11} = \frac{\hat{e}_1^2 \bar{H}_{11} + \hat{e}_2^2 \bar{H}_{22}}{\hat{e}_{12}^2}$$

$$H_{12} = \frac{\hat{e}_1 \hat{e}_2 (\bar{H}_{11} - \bar{H}_{22})}{\hat{e}_{12}^2}$$

$$\begin{aligned}
H_{13} &= -\frac{\hat{e}_1 \bar{H}_{13}}{\hat{e}_{12}} \\
H_{14} &= -\frac{\hat{e}_2 \bar{H}_{24}}{\hat{e}_{12}} \\
H_{15} &= -\frac{\hat{e}_2 \bar{H}_{25}}{\hat{e}_{12}} \\
H_{22} &= \frac{\hat{e}_2^2 \bar{H}_{11} + \hat{e}_1^2 \bar{H}_{22}}{\hat{e}_{12}^2} \\
H_{23} &= \frac{\hat{e}_2 \bar{H}_{13}}{\hat{e}_{12}} \\
H_{24} &= \frac{\hat{e}_1 \bar{H}_{24}}{\hat{e}_{12}} \\
H_{25} &= \frac{\hat{e}_1 \bar{H}_{25}}{\hat{e}_{12}} \\
H_{33} &= \bar{H}_{33}, \quad H_{34} = \bar{H}_{34}, \quad H_{35} = \bar{H}_{35} \\
H_{44} &= \bar{H}_{44}, \quad H_{45} = \bar{H}_{45}, \quad H_{55} = \bar{H}_{55}
\end{aligned} \tag{4.5}$$

En materiales transversalmente isotropos con el eje  $x_3$  como eje de simetría, las constantes elásticas en  $C_{iJKm}$  distintas de cero son

$$c_{1111}, c_{3333}, c_{1122}, c_{1133}, c_{2323} \tag{4.6}$$

$$c_{1212} = \frac{c_{1111} - c_{1122}}{2}, \quad c_{1313} = c_{2323}, \quad c_{2222} = c_{1111}, \quad c_{2233} = c_{1133}$$

las constantes piezoeléctricas

$$e_{113}, e_{333}, e_{322} = e_{311}, e_{223} = e_{113} \tag{4.7}$$

las constantes piezomagnéticas

$$q_{113}, q_{333}, q_{322} = q_{311}, q_{223} = q_{113} \tag{4.8}$$

los coeficientes magnetoeléctricos

$$\lambda_{33}, \lambda_{11}, \lambda_{22} = \lambda_{11} \tag{4.9}$$

los coeficientes de permeabilidad dieléctrica

$$\epsilon_{33}, \epsilon_{11}, \epsilon_{22} = \epsilon_{11} \tag{4.10}$$

y los coeficientes de permeabilidad magnética

$$\mu_{33}, \mu_{11}, \mu_{22} = \mu_{11} \quad (4.11)$$

La principal ventaja de escoger los vectores  $\mathbf{m} = \{0, 1, 0\}$  y  $\mathbf{n} = \{\cos \phi, 0, -\sin \phi\}$  es que las componentes de la matriz  $\Gamma_{JK}(p) = \mathbf{Q}_{JK} + (\mathbf{R}_{JK} + \mathbf{R}_{KJ})p + \mathbf{T}_{JK}p^2$  se simplifican, en parte, debido a la cantidad de términos cero en  $\mathbf{Q}$ ,  $\mathbf{R}$  y  $\mathbf{T}$ . Luego la matriz  $\Gamma$  para materiales transversalmente isótropos donde las constantes distintas de cero vienen dadas por las Ecs. (4.6-4.11), y para puntos sobre el plano  $x_2 = 0$  es

$$\Gamma(p) = \begin{bmatrix} C_{1212}p^2 + \frac{C_{1111}z^2}{r^2} + C_{2323}\hat{e}_{12}^2 & \frac{(C_{1111} + C_{1122})zp}{2r} & -\frac{(C_{1133} + C_{2323})z\hat{e}_{12}}{r} & -\frac{(e_{113} + e_{311})z\hat{e}_{12}}{r} & -\frac{(q_{113} + q_{311})z\hat{e}_{12}}{r} \\ \frac{(C_{1111} + C_{1122})zp}{2r} & C_{1111}p^2 + \frac{C_{1212}z^2}{r^2} + C_{2323}\hat{e}_{12}^2 & -(C_{1133} + C_{2323})\hat{e}_{12}p & -(e_{113} + e_{311})\hat{e}_{12}p & -(q_{113} + q_{311})\hat{e}_{12}p \\ -\frac{(C_{1133} + C_{2323})z\hat{e}_{12}}{r} & -(C_{1133} + C_{2323})\hat{e}_{12}p & C_{2323}p^2 + \frac{C_{2323}z^2}{r^2} + C_{3333}\hat{e}_{12}^2 & e_{133}p^2 + e_{333}\hat{e}_{12}^2 + \frac{e_{113}z^2}{r^2} & q_{133}p^2 + q_{333}\hat{e}_{12}^2 + \frac{q_{113}z^2}{r^2} \\ -\frac{(e_{113} + e_{311})z\hat{e}_{12}}{r} & -(e_{113} + e_{311})\hat{e}_{12}p & e_{133}p^2 + e_{333}\hat{e}_{12}^2 + \frac{e_{113}z^2}{r^2} & -\varepsilon_{11}p^2 - \varepsilon_{33}\hat{e}_{12}^2 - \frac{\varepsilon_{11}z^2}{r^2} & -\lambda_{11}p^2 - \lambda_{33}\hat{e}_{12}^2 - \frac{\lambda_{11}z^2}{r^2} \\ -\frac{(q_{113} + q_{311})z\hat{e}_{12}}{r} & -(q_{113} + q_{311})\hat{e}_{12}p & q_{133}p^2 + q_{333}\hat{e}_{12}^2 + \frac{q_{113}z^2}{r^2} & -\lambda_{11}p^2 - \lambda_{33}\hat{e}_{12}^2 - \frac{\lambda_{11}z^2}{r^2} & -\mu_{11}p^2 - \mu_{33}\hat{e}_{12}^2 - \frac{\mu_{11}z^2}{r^2} \end{bmatrix} \quad (4.12)$$

y el determinante de la matriz  $\mathbf{T}$  es

$$|\mathbf{T}| = C_{1111}C_{1212} \left[ q_{113}^2 \varepsilon_{11} - 2e_{113}q_{113}\lambda_{11} + e_{113}^2 \mu_{11} + C_{2323}(\varepsilon_{11}\mu_{11} - \lambda_{11}^2) \right] \quad (4.13)$$

Nótese que una vez que los autovalores de Stroh son obtenidos, las expresiones para la función de Green (Ec. (2.37)) y su derivada (Ec. (3.8)) son completamente explícitas. Los autovalores resultan de resolver la ecuación característica de grado décimo  $|\Gamma(p)| = 0$ . En el caso considerado, el determinante de la Ec. (4.12) puede ser factorizado de la forma

$$|\Gamma(p)| = 0 \rightarrow \begin{cases} f + c_{1212}p^2 = 0 \\ ap^8 + bp^6 + cp^4 + dp^2 + e = 0 \end{cases} \quad (4.14)$$

y por lo tanto puede ser resuelta en radicales. Luego expresiones completamente explícitas son obtenidas tanto para la función de Green como para su derivada. En la presente implementación preliminar los autovalores de Stroh son calculados de forma numérica resolviendo el problema de autovalores dado por

$$\begin{bmatrix} \mathbf{N}_1 & \mathbf{N}_2 \\ \mathbf{N}_3 & \mathbf{N}_1^T \end{bmatrix} \begin{Bmatrix} \mathbf{a} \\ \mathbf{b} \end{Bmatrix} = p \begin{Bmatrix} \mathbf{a} \\ \mathbf{b} \end{Bmatrix} \quad (4.15)$$

$$\mathbf{N}_1 = -\mathbf{T}^{-1}\mathbf{R}^T, \quad \mathbf{N}_2 = \mathbf{T}^{-1}, \quad \mathbf{N}_3 = \mathbf{R}\mathbf{T}^{-1}\mathbf{R}^T - \mathbf{Q}$$

donde el superíndice  $T$  denota transpuesta.

En lo que respecta al cálculo de las derivadas, es importante destacar que las funciones  $\mathbf{A}(p_\alpha)$  y  $\mathbf{B}(p_\alpha)$  en las componentes  $M_{ijKLMN}$  son calculadas una única vez y luego son tratadas como constantes a lo largo del cálculo de las 45 componentes de  $\tilde{U}_{pI,q}$ . Lo mismo sucede con el denominador en la función  $\Phi_{ijKLMN}$  (Ec. (3.10)). Luego el cómputo de las distintas funciones  $\Phi_{ijKLMN}$  resulta de las correspondientes combinaciones de las componentes de la matriz  $B_{ij}$  y las componentes de la matriz adjunta  $\hat{\Gamma}_{KL}$ . Las derivadas de  $\Phi_{ijKLMN}(p)$  con respecto al argumento son computadas en esta implementación utilizando MATHEMATICA. Sin embargo estas derivadas son simples y pueden ser evaluadas explícitamente definiendo la función polinómica

$$\Lambda_{KLMN} \stackrel{def}{=} \sum_{\lambda=0}^M p^\lambda \hat{\Gamma}_{KL}^{(\lambda)} \sum_{\lambda=0}^M p^\lambda \hat{\Gamma}_{MN}^{(\lambda)} = \sum_{\lambda=0}^{2M} p^\lambda \Lambda_{KLMN}^{(\lambda)} \quad (4.16)$$

y llamando al denominador en la función  $\Phi_{ijKLMN}$  (Ec. (3.10)) como  $\Upsilon$  se tiene

$$\frac{d}{dp} \Phi_{ijKLMN} = -\frac{2B_{ij} \Lambda_{KLMN}}{\Upsilon} \mathbf{M} + \frac{\frac{dB_{ij}}{dp} \Lambda_{KLMN}}{\Upsilon} + \frac{B_{ij} \sum_{\lambda=1}^{2M} \lambda p^{\lambda-1} \Lambda_{KLMN}^{(\lambda)}}{\Upsilon} \quad (4.17)$$

donde

$$\mathbf{M}(p) = \frac{1}{(p - \bar{p}_1)} + \frac{1}{(p - \bar{p}_2)} + \frac{1}{(p - \bar{p}_3)} + \frac{1}{(p - \bar{p}_4)} + \frac{1}{(p - \bar{p}_5)} \quad (4.18)$$

y considerando dos vectores mutuamente ortogonales  $\mathbf{m} = \left\{ -\frac{\hat{e}_2}{\hat{e}_{12}}, \frac{\hat{e}_1}{\hat{e}_{12}}, 0 \right\}$  y  $\mathbf{n} = \left\{ \frac{\hat{e}_1 \hat{e}_3}{\hat{e}_{12}}, \frac{\hat{e}_2 \hat{e}_3}{\hat{e}_{12}}, -\hat{e}_{12} \right\}$

que definen cualquier dirección  $\hat{\mathbf{e}}$  en  $\mathfrak{R}^3$

$$\frac{d}{dp} [B_{ij}] = \begin{bmatrix} 2 \frac{\hat{e}_2 (-\hat{e}_1 \hat{e}_3 + \hat{e}_2 p)}{\hat{e}_{12}^2} & \frac{\hat{e}_1^2 \hat{e}_3 - \hat{e}_2^2 \hat{e}_3 - 2\hat{e}_1 \hat{e}_2 p}{\hat{e}_{12}^2} & \hat{e}_2 \\ \frac{\hat{e}_1^2 \hat{e}_3 - \hat{e}_2^2 \hat{e}_3 - 2\hat{e}_1 \hat{e}_2 p}{\hat{e}_{12}^2} & 2 \frac{\hat{e}_1 (\hat{e}_2 \hat{e}_3 + \hat{e}_1 p)}{\hat{e}_{12}^2} & -\hat{e}_1 \\ \hat{e}_2 & -\hat{e}_1 & 0 \end{bmatrix} \quad (4.19)$$

## Validación numérica

Para validar la solución dos materiales transversalmente isótropos son utilizados. El primero tiene propiedades tomadas del BaTiO<sub>3</sub> y del CoFe<sub>2</sub>O<sub>4</sub> según considera Pan (2002). El valor de las constantes se resumen en la Tabla 4.1. Adicionalmente se tiene

$$c_{1212} = \frac{c_{1111} - c_{1122}}{2}, \quad c_{1313} = c_{2323}, \quad c_{2222} = c_{1111}, \quad c_{2233} = c_{1133} \quad (4.20)$$

$$e_{322} = e_{311}, \quad e_{223} = e_{113}, \quad q_{322} = q_{311}, \quad q_{223} = q_{113}, \quad \lambda_{22} = \lambda_{11}, \quad \varepsilon_{22} = \varepsilon_{11}, \quad \mu_{22} = \mu_{11}$$

<b>Constantes elásticas</b> $\left[ 10^9 \frac{N}{m^2} \right]$	$c_{1111}$	166
	$c_{3333}$	77
	$c_{1122}$	78
	$c_{1133}$	162
	$c_{2323}$	43
<b>Constantes piezoeléctricas</b> $\left[ \frac{C}{m^2} \right]$	$e_{113}$	11,6
	$e_{333}$	18,6
	$e_{322}$	-4,4
<b>Constantes piezomagnéticas</b> $\left[ \frac{N}{Am} \right]$	$q_{113}$	550
	$q_{333}$	699,7
	$q_{322}$	580,3
<b>Coefficientes magnetoeléctricos</b> $\left[ \frac{Ns}{Am} \right]$	$\lambda_{11}$	0
	$\lambda_{33}$	0
<b>Coefficientes de permeabilidad dieléctrica</b> $\left[ 10^{-9} \frac{C}{Vm} \right]$	$\varepsilon_{11}$	11,2
	$\varepsilon_{33}$	12,6
<b>Coefficientes de permeabilidad magnética</b> $\left[ 10^{-6} \frac{Ns^2}{C^2} \right]$	$\mu_{11}$	5
	$\mu_{33}$	10

Tabla 4.1 – Valores de las constantes del material magnetoelástico.

El segundo material corresponde a la cerámica PZT-4 (Pan & Tonon (2000)) la cual presenta un acoplamiento piezoeléctrico. Las propiedades se presentan en la Tabla 4.2 cumpliéndose (4.20) cuando corresponda.

<b>Constantes elásticas</b> $\left[10^9 \frac{N}{m^2}\right]$	$c_{1111}$	139
	$c_{3333}$	115
	$c_{1122}$	77,8
	$c_{1133}$	74,3
	$c_{2323}$	25,6
<b>Constantes piezoeléctricas</b> $\left[\frac{C}{m^2}\right]$	$e_{113}$	12,7
	$e_{333}$	15,1
	$e_{322}$	-5,2
<b>Coefficientes de permeabilidad dieléctrica</b> $\left[10^{-9} \frac{C}{Vm}\right]$	$\epsilon_{11}$	6,461
	$\epsilon_{33}$	5,62

Tabla 4.2 – Valores de las constantes del material piezoeléctrico.

Las Tablas 4.3 y 4.4 corresponden al sólido magnetoelástico de la Tabla 4.1 y las funciones son evaluadas en el punto  $\mathbf{x} = \{1, 1, -1\}$ . La Tabla 4.3 muestra los resultados para la función de Green con la implementación propuesta para materiales transversalmente isótropos junto con los presentados en Pan (2002). En el trabajo de Pan (2002) es implementado un esquema de diferencias finitas para evaluar las derivadas de la función de Green. Así, las derivadas son aproximadas por medio de las ecuaciones

$$\frac{\partial U_{PK}}{\partial x_1} \approx \frac{1}{2h} [U_{PK}(x_1 + h, x_2, x_3) - U_{PK}(x_1 - h, x_2, x_3)] \quad (4.21)$$

$$\frac{\partial U_{PK}}{\partial x_2} \approx \frac{1}{2h} [U_{PK}(x_1, x_2 + h, x_3) - U_{PK}(x_1, x_2 - h, x_3)] \quad (4.22)$$

$$\frac{\partial U_{PK}}{\partial x_3} \approx \frac{1}{2h} [U_{PK}(x_1, x_2, x_3 + h) - U_{PK}(x_1, x_2, x_3 - h)] \quad (4.23)$$

En la Tabla 4.4 se presentan resultados obtenidos en la implementación propuesta para las derivadas con respecto a  $x_3$  junto con los valores obtenidos con el esquema de diferencias finitas. Se observa que el error relativo es del orden de  $10^{-8}$ . En Pan (2002) son presentados resultados de la tensión  $\sigma_{11}$  debido a una fuerza puntual en la dirección  $x_i$ ,  $i = 1..3$  para  $\mathbf{x} = \{1, 1, -1\}$  en el material magnetoelástico. Estas tensiones son calculadas con el esquema de evaluación de derivadas propuesto en este trabajo y de acuerdo con

$$\Xi_{111} = c_{1111}U_{11,1} + c_{1122}U_{12,2} + c_{1133}U_{13,3} + e_{311}U_{14,3} + q_{311}U_{15,3} \quad (4.24)$$

$$\Xi_{112} = c_{1111}U_{12,1} + c_{1122}U_{22,2} + c_{1133}U_{23,3} + e_{311}U_{24,3} + q_{311}U_{25,3} \quad (4.25)$$

$$\Xi_{113} = c_{1111}U_{13,1} + c_{1122}U_{23,2} + c_{1133}U_{33,3} + e_{311}U_{34,3} + q_{311}U_{35,3} \quad (4.26)$$

resultando  $\Xi_{111} = -1,49226 \times 10^{-2}$ ,  $\Xi_{112} = -0,570741 \times 10^{-2}$  y  $\Xi_{113} = 0,627563 \times 10^{-2}$ , los cuales concuerdan con los resultados graficados en la Fig. 3 de Pan (2002).

$\{JK\}$	Pan (2002)	Presente trabajo
11	7,714137 $10^{-13}$	7,714136975 $10^{-13}$
12	1,2027080 $10^{-13}$	1,2027080088 $10^{-13}$
13	-1,2945921 $10^{-13}$	-1,294592076 $10^{-13}$
14	-1,0347228 $10^{-4}$	-1,034722765 $10^{-4}$
15	4,2667071 $10^{-6}$	4,266707118 $10^{-6}$
22	7,7141370 $10^{-13}$	7,7141369758 $10^{-13}$
23	-1,2945921 $10^{-13}$	-1,294592076 $10^{-13}$
24	-1,0347228 $10^{-4}$	-1,0347227659 $10^{-4}$
25	4,2667071 $10^{-6}$	4,2667071177 $10^{-6}$
33	4,8476833 $10^{-13}$	4,8476833195 $10^{-13}$
34	5,0073977 $10^{-4}$	5,0073977011 $10^{-4}$
35	2,4195755 $10^{-5}$	2,4195754529 $10^{-5}$
44	-3,4041791 $10^6$	-3,4041791148 $10^6$
45	2,9749049 $10^4$	2,9749048777 $10^4$
55	-4,1918948 $10^3$	-4,1918947945 $10^3$

Tabla 4.3 – Resultados de la evaluación de la función de Green  $U_{JK}$  para el material magnetoelástico.

$\{JK\}$	Diferencias finitas	Presente trabajo
11	3,336588421833 $10^{-13}$	3,336588378284 $10^{-13}$
12	1,301397092497 $10^{-13}$	1,301397094294 $10^{-13}$
13	-7,75080151598 $10^{-15}$	-7,750800322078 $10^{-15}$
14	-9,49860105673 $10^{-6}$	-9,498600100628 $10^{-6}$
15	2,807075322643 $10^{-6}$	2,807075283457 $10^{-6}$
22	3,336588421542 $10^{-13}$	3,336588378284 $10^{-13}$
23	-7,750801362949 $10^{-15}$	-7,750800322076 $10^{-15}$
24	-9,498600935449 $10^{-6}$	-9,498600100627 $10^{-6}$
25	2,80707531824 $10^{-6}$	2,807075283457 $10^{-6}$
33	9,364625190706 $10^{-14}$	9,364624925707 $10^{-14}$
34	1,220686350475 $10^{-4}$	1,220686322451 $10^{-4}$
35	7,75549207825 $10^{-7}$	7,75549166468 $10^{-7}$
44	-1,04712138946 $10^6$	-1,04712137380 $10^6$
45	3,593057150437 $10^3$	3,59305706540 $10^3$
55	-1,056384380737 $10^3$	-1,05638436128 $10^3$

Tabla 4.4 – Resultados de la evaluación de la derivada de la función de Green  $U_{JK,3}$  para el material magnetoelástico.

En las Tablas 4.5 y 4.6 se presentan los resultados correspondientes al sólido piezoeléctrico de la Tabla 4.2. Funciones son evaluadas en el punto  $\mathbf{x} = \{1,1,1\}$ . La Tabla 4.5 presenta los valores de la



evaluación de Green con la presente implementación. Estos resultados son comparados con los presentados en Pan & Tonon (2000) los cuales son calculados con las expresiones de Dunn & Wienecke (1996). En la Tabla 4.6 se presentan resultados para las derivadas con respecto a  $x_2$ . El mayor error relativo en ambos casos es del orden de  $10^{-5}$ .

$\{JK\}$	Dunn & Wienecke (1996)	Presente trabajo
11	1.1507372825 $10^{-12}$	1.150738346921 $10^{-12}$
12	1.9428530900 $10^{-13}$	1.942852897487 $10^{-13}$
13	1.7241444282 $10^{-13}$	1.724167973621 $10^{-13}$
14	2.0825816731 $10^{-4}$	2,082500974672 $10^{-4}$
22	1.1507372825 $10^{-12}$	1.150738346921 $10^{-12}$
23	1.7241444282 $10^{-13}$	1.724167973621 $10^{-13}$
24	2.0825816731 $10^{-4}$	2,082500974671 $10^{-4}$
33	7.9729216465 $10^{-13}$	7.973143889466 $10^{-13}$
34	1.5239325664 $10^{-3}$	1,52387289424 $10^{-3}$
44	-4.3915928465 $10^6$	-4.391421435455 $10^6$

Tabla 4.5 – Resultados de la evaluación de la función de Green  $U_{JK}$  para el material piezoeléctrico.

$\{JK\}$	Dunn & Wienecke (1996)	Presente trabajo
11	-4,81188998237 $10^{-13}$	-4, 811893697561 $10^{-13}$
12	1,65932816546 $10^{-14}$	1,659291020065 $10^{-14}$
13	-1,54203110547 $10^{-13}$	-1,542059355604 $10^{-13}$
14	-2,0154138734 $10^{-4}$	-2,0154607834 $10^{-4}$
22	-9,26183802345 $10^{-14}$	-9,261879025866 $10^{-14}$
23	1,82113322728 $10^{-14}$	1,821086180175 $10^{-14}$
24	6,70402857710 $10^{-6}$	6,70401912708 $10^6$
33	-3,30447677887 $10^{-13}$	-3,304587223351 $10^{-13}$
34	-6,20021679052 $10^{-4}$	-6,199966390453 $10^{-4}$
44	1,18596300519 $10^6$	1,185913398584 $10^6$

Tabla 4.6 – Resultados de la evaluación de la derivada de la función de Green  $U_{JK,2}$  para el material piezoeléctrico.